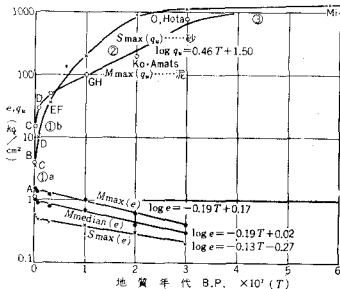
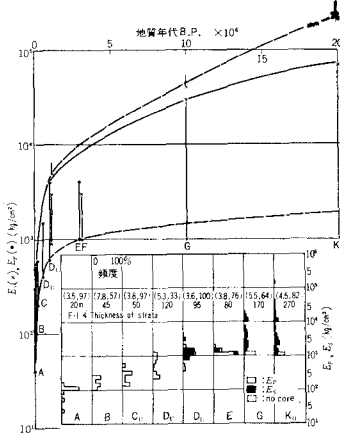


東大・工・資源開発工学科 正会員 小島圭二

岩石の性質が地盤または岩盤の性質にどのような影響をおぼして、113点の基礎資料を得る目的で、(1)堆積岩を対象として地質学的時間の経過に伴う堆積物の固結過程と、一軸圧縮強度 q_u と静弾性係数 E を index として追求した。そして(2)地質学的成因作用(Diagenesis)と力学的側面から検討し、各成因段階の固結り特徴と、乾燥による孔隙および V_p/V_s (P-S 波伝播速度) の変化や構成粒子の顕微鏡観察などを考慮した。図1は、新生代の典型的な堆積盆地の堆積物(主として東京湾)を地質時代毎に区分し、その孔隙率と固隙比のヒストグラムから、それらの最大値を求めて、地質学的時間と固結の関係を示した。もちろん絶対年代には大きな誤差があり、更に試料の粒度分布・埋没度等によるばらつきも無視できないから、この図は全般的傾向を示しているにすぎない。しかし q_u は直線的变化を示すに反し、 q_u は①直線②③で近似されると考えてよさそうである。図2は q_u 表示が困難な未固結時の固結度と孔内試験と併用して静弾性係数で示したもので、各段の固結度には 3 つまで同時に示している。一方堆積物の力学的性質は、例えば PRICE (1960) のように(a)砂では石英粒の量(matrixの量と質), (b)固隙比, (c)埋没深度などに影響され、泥でも(a)と粘土の量と質に依存されれば、堆積初期の電気化学的諸条件を通り除き、同様に考えられる。そして(b)と(c)の両者と相関があり、粒度組成がほど等しいれば Athy の式で代表されるように、埋没度と index となり得る。図3は以上の見地から図1を考慮して堆積物の(a)と(b)と地質時代の関係をまとめたもので、ばらつきは尺度区分毎の□で表現した。そして図1の傾向に忠実な表現をすると図の直線を得る。そして各曲線は図の①②③に区分される。図4はこの直線上の 1 点 (e, q_u) の試料を乾燥させ、それと空の V_p/V_s の変化を実験に基づき、模式的に表したものである。図作成に当つては、筆者の測定の他、飯田(1938, 1940)・南雲(1957)・田中(1968)などの研究資料を加え総合判断を行つた。この結果、表では①領域の乾燥曲線に収縮限界 SL が見出され、圧密に伴う強度増と弾性係数の変化が認められ、ミセル間の電気化学的テニシアルに基く結合力で定性的な解釈が可能である。②～③領域では、 q_u 乾燥曲線の勾配は、ほど已によつて互なり、自然乾燥状態で含有水分子(吸着水)は含水比 $w \approx 5\% \sim 10\%$ と已によつてほど等しくなる。また動的性質と静的性質の変化傾向や弾性定数に関して異なり、動的 E ・ K は固結が進むにつれ乾燥と共に伴う変化が減少する。以上からこの領域の乾燥に伴う強度変化の要因は、吸着水膜の減少による粒子間結合力の増加確率と静的には Brittleness の増加などに伴う haircrack への固隙水のくさび効果などが推定される。そして Silicification が含む固結の進行と

*ここで取つて113地域では試料の最大埋没度(埋没度)は大略地質時代と相関を有する。

図1 地質学的時間と一軸圧縮強度 q_u および固隙比 e の関係図2 变形係数 E_s, E_p による、砂質層の固結度のばらつきと地質学的時間の関係

ともに、含有水に対する諸性質の変化が減少する。泥ほど顕著で“カリ”が、砂でも同様の傾向が見られ、特に V_p/V_s 乾燥曲線から計算される骨格構造の弾性率は①～③へ $E \approx 0 \sim E \approx$ 構成粒子の K へと骨格の強化が認められる。これには写真に示したように、①～③へと構成粒子散在 → 粒子間の融解か合せと matrix の再結晶化への Diagenesis の過程にも対応するとも認められる。

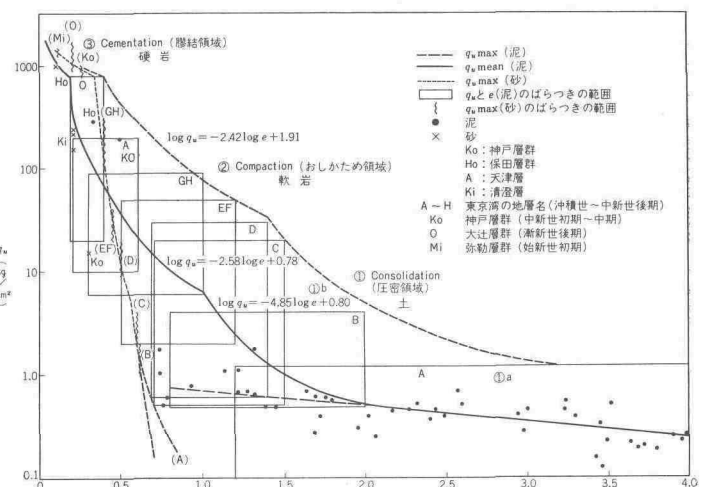


図3 地層区分ごとの一軸圧縮強度 q_u と間隙比 e の関係および $q_{umax}-e$ 曲線

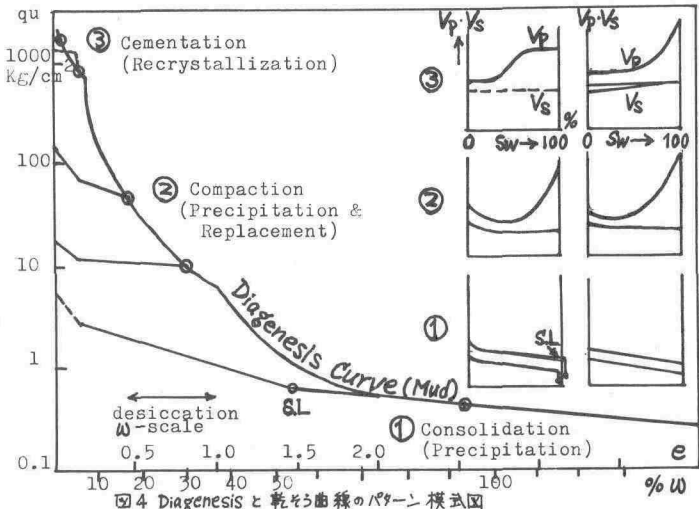
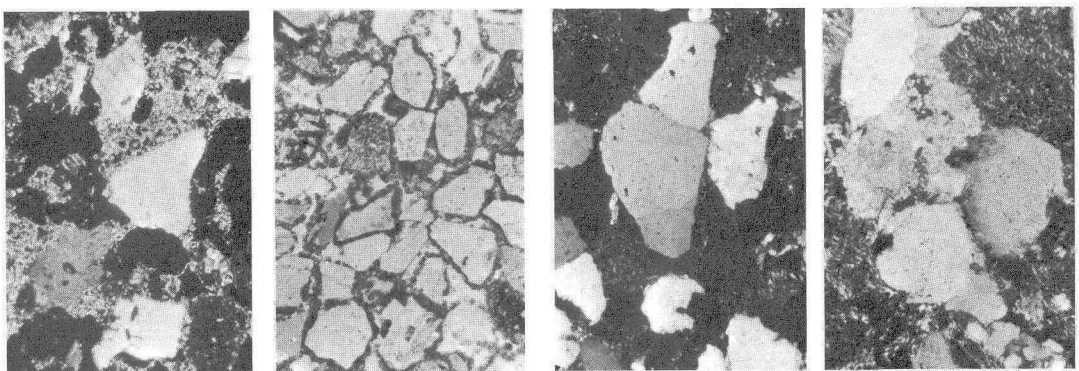


図4 Diagenesis と乾燥曲線のパターン 模式図



人工砂岩
(河砂・Cement matrix) ①
 $e = 0.70, q_u = 2 \sim 4 \text{ kg/cm}^2$

長浜乃砂岩, L.Pleist. ②
(Calcareous matrix)
 $e = 0.64, q_u = 24 \text{ kg/cm}^2$

富岡乃群砂岩, M.Mio. ③
(Argillaceous matrix)
 $e = 0.25, q_u = 223 \text{ kg/cm}^2$

石狩乃群砂岩, Paleo. ④
(Argillaceous matrix)
 $e = 0.04, q_u = 920 \text{ kg/cm}^2$